

高崎大学工学部 正員 藤本 廣

1. まながき

土壤工学上の実際問題で、応力緩和の現象が関係するかではないかと思われるものとしては、従来粘性土を支持する擁壁やトンネル覆工にかかる土圧、とか杭の真摩擦力などが予想的にあげられていた。しかし、現実にどのような方面について系統的にはされた研究は、筆者の知る限りでは、僅かに村山¹⁾教授のトンネル覆工にかかる土圧の経時変化に対する理論的考察、Kondner, R. L. 他一名の上の締め固め時間に関する実験、および Vidmar, S. の擁壁にかかる土圧の経時変化についての模型実験があるのみで、応力緩和と対象的なタイプ現象に比べて理論的にも実験的にも未解明の点が非常に多い。

ところが、筆者は、数年前から不飽和粘性土の応力緩和現象に興味をもち、基礎的応力緩和現象について、理論ならびに実験的に研究を続けてきたが、最近、三軸圧縮条件での緩和実験が、Geuze²⁾らのいうセルテストや Schmertmann, J. H. のいう C.F.S. テストと密接な関係のあることが予測されたので、その提案を第20回国次大會で、粘性土の主効土圧に応力緩和が影響するという指摘と共に報告しておいた。今回はその後の、それらの問題についての考察結果を二三の新しい実験結果と共に報告する。

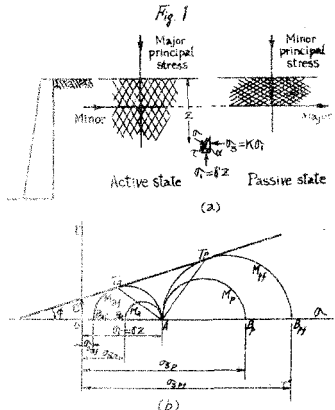
2. 粘性土の土圧と応力緩和

Taylor, D. W.³⁾は、“粘性土を支持する擁壁がフリップなどの原因で主動的に変位し、その動きが一旦止まるごと、粘性土中に生じたせん断と反対に応力緩和により経時的に減少していく”。この際、土中の応力状態が平衡を保つためには水平方向応力が増加せねばならない。つまり、主効土圧が経時的に増加することとなる。“かような意味のこと”を定性的にではあるが説明している。この意味を筆者は次のように理解している。すなわち、

図1で、深さZにおける応力状態を考えると、破壊の極限状態に到達する前の弾性平衡の状態では次式が成立している。

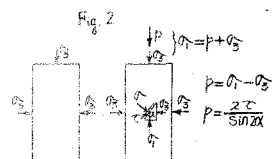
$$\sigma = \frac{\sigma_1 + \sigma_3}{2} + \frac{\sigma_1 - \sigma_3}{2} \cos 2\alpha \quad (1)$$

$$\tau = \frac{\sigma_1 - \sigma_3}{2} \sin 2\alpha \quad (2)$$



したがって、 $\alpha=90^\circ$ 、すなばり一定とすれば、応力緩和減少する過程で(1)式が平衡を保つためには σ_1 が増加する必要がある、といふことになる。Taylorは受効状態の場合については言及していないが、筆者は受効状態の場合にも同様の理由から土圧の経時変化が生ずると考えている。たゞし、この場合は、応力緩和につれての主効の場合とは逆に低下することになる。

これらの現象は、三軸圧縮条件での応力緩和実験の機構と考え方など容易に理解できる。すなわち、図2のよう、軸差応力($\sigma_1 - \sigma_3$)の緩和が直接計測される場合には、



次のよう考へればよい。今、セル圧一定 ($\sigma_3 = \text{一定}$) の緩和実験で、主応力比、(σ_1/σ_3) および (σ_2/σ_3) を考へる。今 σ_1/σ_3 であれば (σ_1/σ_3) は主動状態の土圧係数に対応するものとして K_{eff} で表わすと、

$$K_{\text{eff}} = \sigma_1/\sigma_3 = \sigma_1/(\sigma_3 + \sigma_2) \quad (3)$$

したがつて、上式で局地的緩和減小していくは緩和が始まつた時間 ($t=0$) の値 $K_{\text{eff}(t=0)}$ から $K_{\text{eff}(t)}$ は経時に増大することになる。つまり主動状態の緩和過程では土圧係数に相当するものが増大するという試である。遂に受動状態では

$$K_{\text{eff}} = \sigma_2/\sigma_3 = (\sigma_3 + \sigma_2)/\sigma_3 \quad (4)$$

であるから、 σ_2 の緩和に応じて $K_{\text{eff}(t=0)}$ の値から経時に $K_{\text{eff}(t)}$ は減少することになる。

図3は、奥白カオリソの供試体(最適含水状態、乾燥側、湿润側の三種)について行った緩和実験から、 K_{eff} を求めて時間 t に対してプロットしたものである。このセル圧合は 1.0 kg/cm^2 である。これによると、湿润側が最も増加率が高く、(約 30 %)、OMC、dry side では約 10 % 程度の増加率を示すだけである。この因は緩和曲線の速に相当するものとなり、この曲線の勾配は一種のスペクトルを表わす。

図4は、同じくカオリソの緩和中ににおける应力状態モールの应力図で示したものである。ただしこの実験では、最初 $\sigma_1 = 0.5 \text{ kg/cm}^2$ で一旦緩和させ、緩和停止後 $\sigma_1 = 1.5 \text{ kg/cm}^2$ として再び緩和を反復してある。図中の M_1 は $\sigma_1 = 1.5 \text{ kg/cm}^2$ で緩和停止後、 σ_1 を増加して压缩縮壊した時の应力状態である。これより、 σ_1 の低下での増加の關係が一応確かめられる。図5は、図4の実験を順序によつた前記三試料の緩和前後の初期应力と最終应力とそれを示したものである。

このように現象について土圧を実測しし例は、現在のことところ室内の模型実験ではあるが Vidmar の測定例があるのがである。これによると、壁の移動、停止による主動土圧は、壁の移動前の静土圧にまで増加したと報告されている。なお、図6については講演会当日に説明する。本研究は 40 年度文部省科学技術研究費の援助を受け、実験計算には宮崎大和年平美の振波、高橋尚子の協力を得た。付記して謝意を表す。

文献

- 1) D.W. Taylor : Fundamentals of Soil Mechanics (1956) P523
- 2) 村山、柴田：粘土の応力緩和について、土木学会論文集 No.74
- 3) 柴田、：粘性土中のトンネル土圧について、第18回国際地盤工学講演会概要集 P37.

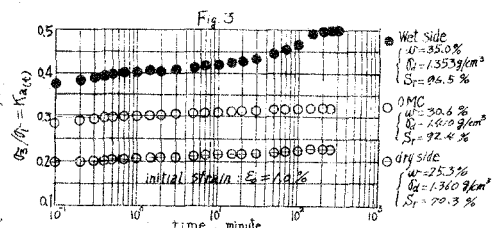


Fig. 3
Wet side
 $\sigma_3 = 350 \text{ kg/cm}^2$
 $S_r = 96.5\%$
OMC
 $\sigma_3 = 304.8 \text{ kg/cm}^2$
 $S_r = 92.4\%$
dry side
 $\sigma_3 = 253.6 \text{ kg/cm}^2$
 $S_r = 70.3\%$

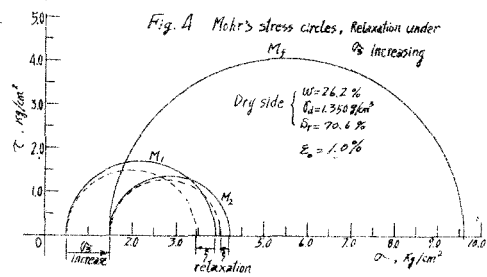


Fig. 4
Mohr's stress circles, Relaxation under
 M_1 increasing

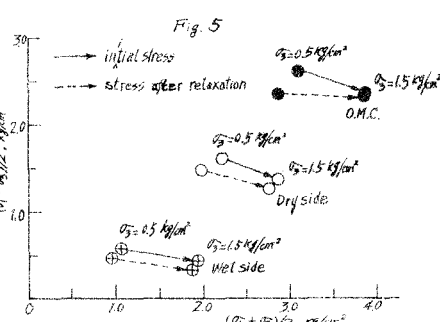


Fig. 5

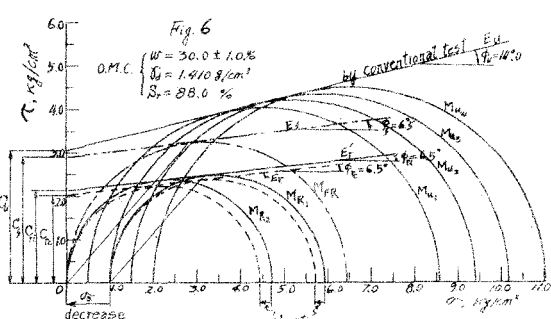


Fig. 6

- 4) R.L. Kondner : Stress Relaxation in Soil Compaction, H.R.B. Vol. 40 (1961)
- 5) S. Vidmar : Relaxation Effect on the Earth Pressure of Cohesive Soils, Proc. I. C.S.M. & F.E., Hungarian Academy of Science, (1963) P143
- 6) 久田、藤本：粘土の応力緩和とその一軸圧縮条件の応力緩和に関する実験的研究、土木学会論文集 No.19, 40-57
- 7) 藤本：静止した平衡和土の一軸圧縮条件の応力緩和に関する実験的研究、土木学会論文集 No.19, 40-57
- 8) Tschöchlerhoff : Soil Mechanics, Foundations, and Earth Structures, P140.
- 9) J.H. Schmittmann : Comparisons of One and Two-Specimen CFS Test, Proc. ASCE, Vol. 78, No.5M4.